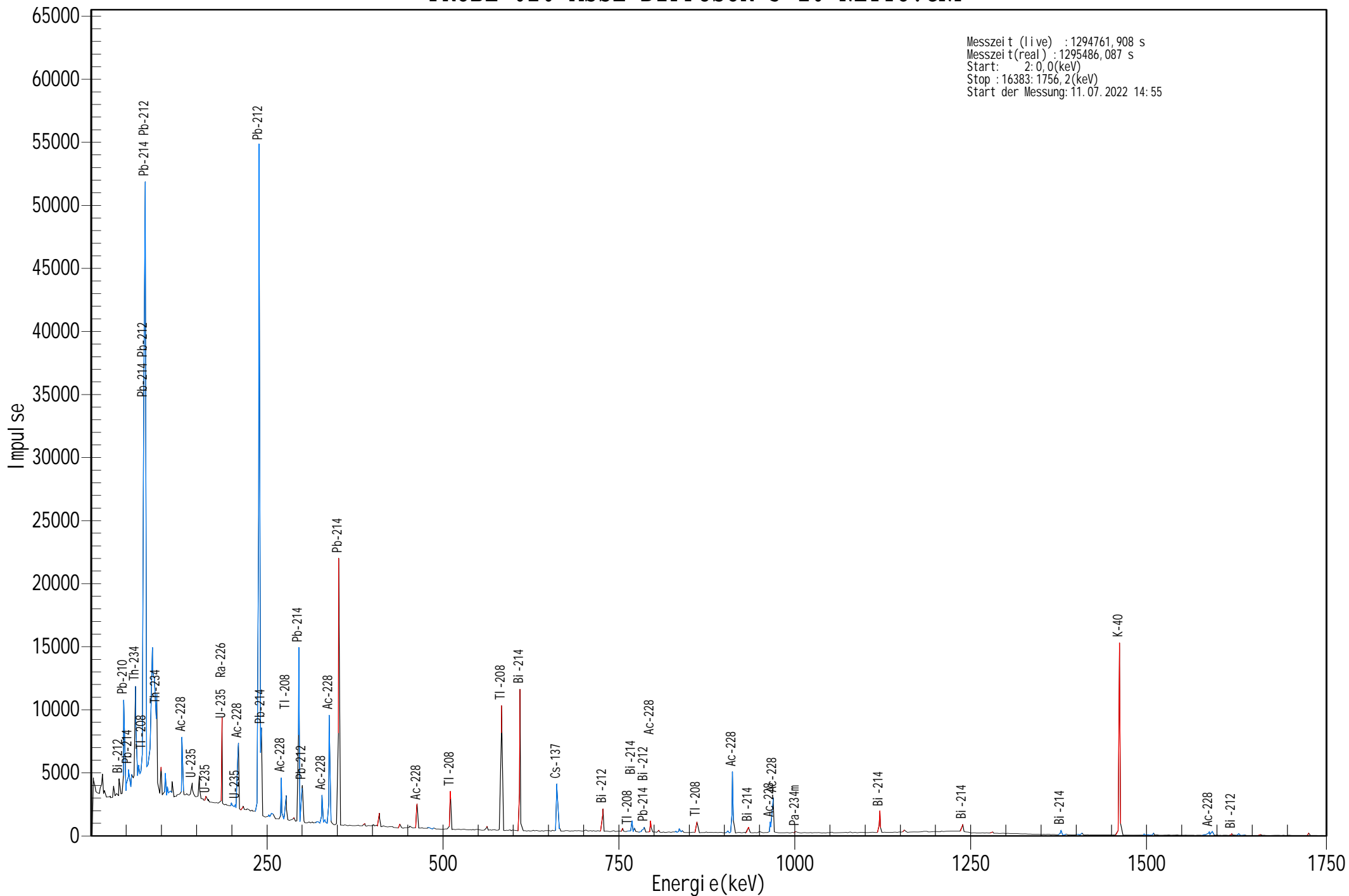


PROBE 020 ASSE DIFFUSOR 3-10 NETTO.CNF

Messzeit (live) : 1294761,908 s
 Messzeit (real) : 1295486,087 s
 Start : 2,0,0(keV)
 Stop : 16383:1756,2(keV)
 Start der Messung: 11.07.2022 14:55



ROI Type: 1

ROI Type: 2

***** G A M M A - S P E K T R U M - A N A L Y S E *****

Dateiname:C:\Users\drieling\Desktop\Bürgermessstelle\Messdaten\Probe 02

Bericht erstellt am : 20.12.2022 16:07:13

Probentitel : Asse Diffusor 3-10
Probenbeschreibung :
Proben-Identifikation : 20
Probentyp : Boden
Probengeometrie : Marinelli

Peaksuch-Empfindlichkeit : 10,00
Bereich Peaksuche (Kanäle) : 200 - 16384
Bereich Peakflächen (Kanäle) : 200 - 16384
Identifizierungs-Energietoleranz: 1,000 keV

Probenmenge : 6,6866E-01 kg

Probe entnommen am :
Messung gestartet am : 11.07.2022 14:55:04

Live-time : 1294761,9 Sekunden
Real-time : 1295486,1 Sekunden

Totzeit : 0,06 %

Zusätzliche Typ A- Unsicherheit : 0,00 %
Zusätzliche Typ B- Unsicherheit : 0,00 %

Benutzte Energie-Kalibrierung vom : 31.08.2021
Benutzte Effizienz-Kalibrierung vom : 08.04.2022
Effizienz ID :

***** P E A K - S U C H - B E R I C H T *****

Detektorname: DET01
Probentitel: Asse Diffusor 3-10
Peaksuche durchgeführt am: 20.12.2022 16:07:12
Peaksuche Anfangskanal: 200
Peaksuche Endkanal: 16384
Peaksuche Empfindlichkeit: 10,00

Peak Nr.	Peaklage Kanal	Peaklage Unsich.	Energie (keV)	Peak Signifikanz
1	299,98	0,0814	31,96	26,13
2	372,40	0,0758	39,73	30,79
3	434,89	0,0365	46,42	124,67
4	467,53	0,1064	49,94	14,90
5	497,41	0,0708	53,12	34,10
6	539,78	0,1011	57,66	17,44
7	591,29	0,0384	63,18	110,02
8	631,66	0,0958	67,56	18,37
9	679,25	0,0939	72,73	24,63
10	698,85	0,0223	74,71	310,81
11	720,13	0,0188	76,99	422,71
12	740,94	0,0767	79,18	36,37
13	757,46	0,0642	80,98	43,35
14	785,40	0,0416	84,04	76,59
15	814,43	0,0277	87,14	182,03
16	839,67	0,0309	89,80	156,40
17	868,13	0,0308	93,09	108,42
18	929,19	0,0585	99,39	46,93
19	984,93	0,0579	105,37	38,71
20	1015,46	0,0914	108,71	16,15
21	1053,70	0,1126	112,73	12,74
22	1075,47	0,0713	115,07	30,85
23	1205,00	0,0392	128,98	98,34
24	1228,62	0,1182	131,50	10,37
25	1343,06	0,0656	143,77	34,42
26	1438,20	0,0550	153,97	48,74
27	1525,88	0,1117	163,35	12,38
28	1736,54	0,0286	185,95	156,89
29	1860,99	0,1023	199,34	13,58
30	1916,86	0,1218	205,26	10,34
31	1953,30	0,0321	209,21	132,18
32	2016,09	0,1026	215,94	13,42
33	2201,91	0,0808	235,95	27,68
34	2227,49	0,0155	238,60	526,33
35	2256,61	0,0294	241,90	112,00
36	2357,23	0,1055	252,55	12,96
37	2391,60	0,1078	256,21	13,38
38	2416,08	0,0898	258,82	17,09
39	2522,11	0,0356	270,19	96,02
40	2564,61	0,0988	274,77	15,42
41	2589,00	0,0416	277,36	77,13

Peak Nr.	Peaklage Kanal	Peaklage Unsich.	Energie (keV)	Peak Signifikanz
42	2690,02	0,0955	288,15	16,21
43	2755,58	0,0214	295,21	266,86
44	2801,25	0,0348	300,11	105,05
45	3001,87	0,1138	321,66	10,74
46	3061,38	0,0374	328,00	89,49
47	3102,29	0,0918	332,39	16,36
48	3157,73	0,0240	338,33	210,45
49	3183,57	0,1005	341,00	16,88
50	3284,77	0,0186	351,95	339,63
51	3630,52	0,1091	388,95	11,94
52	3821,65	0,0459	409,51	57,11
53	4095,55	0,0735	438,88	22,60
54	4225,42	0,1028	452,85	12,52
55	4321,32	0,0354	463,07	90,72
56	4484,87	0,1110	480,56	10,86
57	4544,98	0,0917	487,10	13,10
58	4766,88	0,0308	510,83	117,03
59	5249,61	0,0679	562,61	24,69
60	5442,85	0,0208	583,32	245,52
61	5686,73	0,0199	609,46	262,93
62	6175,16	0,0266	661,82	146,08
63	6210,67	0,0637	665,60	27,34
64	6787,44	0,0324	727,47	95,32
65	7049,40	0,0668	755,55	23,82
66	7123,71	0,0919	763,54	11,77
67	7171,06	0,0416	768,58	59,33
68	7207,31	0,0593	772,49	29,73
69	7299,49	0,0883	782,40	12,47
70	7332,90	0,0525	785,93	36,44
71	7419,04	0,0388	795,18	66,21
72	7523,65	0,0695	806,36	21,84
73	7751,10	0,0935	830,81	10,57
74	7799,36	0,0555	835,95	32,64
75	7838,85	0,0707	840,18	14,10
76	8031,27	0,0383	860,83	66,69
77	8439,15	0,0857	904,53	13,71
78	8504,06	0,0231	911,50	175,22
79	8717,70	0,0483	934,41	40,81
80	9003,43	0,0380	965,04	64,12
81	9043,15	0,0267	969,29	129,50
82	9342,67	0,0782	1001,41	15,61
83	10455,71	0,0304	1120,74	96,06
84	10781,78	0,0723	1155,67	17,45
85	11555,57	0,0433	1238,64	46,42
86	11956,13	0,0703	1281,59	18,07
87	12857,97	0,0436	1378,27	44,30
88	12927,76	0,0845	1385,79	12,36
89	13080,60	0,0704	1402,17	16,15
90	13140,96	0,0539	1408,64	27,49
91	13633,84	0,0158	1461,46	322,06

Peak Nr.	Peaklage Kanal	Peaklage Unsich.	Energie (keV)	Peak Signifikanz
92	13961,45	0,0671	1496,56	17,24
93	14013,56	0,0842	1502,18	12,37
94	14085,51	0,0544	1509,89	27,95
95	14748,86	0,0824	1581,14	13,22
96	14779,07	0,0933	1584,11	11,36
97	14822,24	0,0438	1588,87	41,90
98	14863,55	0,0425	1593,32	44,81
99	15126,28	0,0547	1621,44	26,99
100	15218,51	0,0531	1631,37	27,45
101	15290,10	0,0832	1639,06	11,60
102	15505,73	0,0660	1662,11	18,22
103	16142,93	0,0468	1730,45	33,57

? = Angrenzenden Peak bemerkt

Unsicherheit ist mit dem Erweiterungsfaktor $k = 1,00$ angegeben

 ***** P E A K A N A L Y S E - B E R I C H T *****

Detektorname DET01
 Proben titel: Asse Diffusor 3-10
 Peakanalyse durchgeführt am: 20.12.2022 16:07:12
 Peakanalyse Anfangskanal: 200
 Peakanalyse Endkanal: 16384

	Peak Nr.	ROI Anf.	ROI Ende	Peak Lage	Energie (keV)	FWHM (keV)	Net Peak Fläche	Net Fläche Unsich.	Untergrund Fläche
F	1	291-	307	300,06	31,96	0,57	5,222E+03	213,44	4,956E+04
F	2	358-	381	372,59	39,73	0,37	5,292E+03	181,21	7,411E+04
M	3	423-	548	434,91	46,42	0,39	1,274E+04	2162,98	4,106E+04
m	4	423-	548	467,78	49,94	0,40	5,614E+02	97,34	4,391E+04
m	5	423-	548	497,43	53,12	0,40	2,272E+03	385,98	5,025E+04
m	6	423-	548	539,76	57,66	0,41	1,123E+03	191,71	5,013E+04
M	7	579-	889	591,26	63,18	0,57	3,467E+04	291,43	7,757E+04
m	8	579-	889	632,11	67,56	0,58	7,191E+03	225,21	7,506E+04
m	9	579-	889	680,35	72,73	0,58	1,414E+04	236,10	7,219E+04
m	10	579-	889	698,85	74,71	0,59	1,606E+05	461,12	7,424E+04
m	11	579-	889	720,12	76,99	0,59	2,516E+05	551,57	7,051E+04
m	12	579-	889	740,51	79,18	0,59	9,111E+03	214,11	6,408E+04
m	13	579-	889	757,29	80,98	0,59	9,891E+03	216,07	6,696E+04
m	14	579-	889	785,89	84,04	0,60	2,581E+04	247,60	6,531E+04
m	15	579-	889	814,80	87,14	0,60	7,686E+04	341,15	6,311E+04
m	16	579-	889	839,60	89,80	0,61	5,555E+04	308,08	6,107E+04
m	17	579-	889	870,25	93,09	0,61	5,535E+04	303,62	5,871E+04
F	18	918-	944	929,05	99,39	0,47	1,016E+04	216,07	8,755E+04
M	19	967-	1085	984,80	105,37	1,07	1,678E+04	298,86	9,417E+04
m	20	967-	1085	1015,95	108,71	1,07	7,291E+03	251,78	9,430E+04
m	21	967-	1085	1053,47	112,73	1,08	4,611E+03	244,98	9,444E+04
m	22	967-	1085	1075,29	115,07	1,08	8,224E+03	262,40	7,927E+04
M	23	1195-	1242	1205,02	128,98	0,56	2,550E+04	264,18	5,078E+04
m	24	1195-	1242	1228,51	131,50	0,57	2,591E+03	177,52	5,255E+04
F	25	1331-	1353	1342,95	143,77	0,69	8,062E+03	241,64	6,912E+04
F	26	1427-	1455	1438,13	153,97	0,62	1,101E+04	234,18	8,378E+04
F	27	1516-	1540	1525,66	163,35	0,58	2,326E+03	197,59	6,586E+04
F	28	1716-	1750	1736,47	185,95	0,90	6,324E+04	344,05	8,377E+04
M	29	1849-	1968	1861,37	199,34	0,65	2,680E+03	164,90	4,135E+04
m	30	1849-	1968	1916,51	205,26	0,66	2,287E+03	157,14	4,026E+04
m	31	1849-	1968	1953,34	209,21	0,66	3,558E+04	266,06	3,940E+04
F	32	1996-	2026	2016,17	215,94	0,72	2,630E+03	192,08	6,079E+04
M	33	2192-	2272	2202,85	235,95	0,71	4,645E+03	166,80	3,842E+04
m	34	2192-	2272	2227,52	238,60	0,71	3,735E+05	636,79	3,522E+04
m	35	2192-	2272	2258,32	241,90	0,71	5,410E+04	274,18	3,121E+04
M	36	2347-	2429	2357,66	252,55	0,68	2,077E+03	140,98	2,716E+04
m	37	2347-	2429	2391,79	256,21	0,68	2,012E+03	137,15	2,702E+04
m	38	2347-	2429	2416,11	258,82	0,68	2,544E+03	145,98	2,691E+04
M	39	2504-	2605	2522,17	270,19	0,87	2,865E+04	232,22	3,086E+04
m	40	2504-	2605	2564,86	274,77	0,87	1,953E+03	139,91	3,197E+04
m	41	2504-	2605	2589,09	277,36	0,87	1,544E+04	192,88	3,190E+04
F	42	2681-	2705	2689,69	288,15	0,68	2,197E+03	142,10	2,725E+04

	Peak Nr.	ROI Anf.	ROI Ende	Peak Lage	Energie (keV)	FWHM (keV)	Net Peak Fläche	Net Fläche Unsich.	Untergrund Fläche
M	43	2738-	2814	2755,58	295,21	0,76	1,063E+05	356,99	2,444E+04
m	44	2738-	2814	2801,27	300,11	0,76	2,249E+04	195,39	2,256E+04
M	45	2988-	3194	3002,24	321,66	0,79	1,588E+03	118,53	2,061E+04
m	46	2988-	3194	3061,41	328,00	0,80	1,874E+04	180,34	2,059E+04
m	47	2988-	3194	3102,33	332,39	0,80	2,357E+03	118,50	2,058E+04
m	48	2988-	3194	3157,75	338,33	0,81	6,943E+04	296,91	2,145E+04
m	49	2988-	3194	3182,64	341,00	0,81	2,038E+03	122,02	2,054E+04
F	50	3265-	3306	3284,77	351,95	0,84	1,748E+05	440,53	3,433E+04
F	51	3604-	3643	3629,96	388,95	0,70	1,251E+03	118,82	3,032E+04
F	52	3808-	3838	3821,68	409,51	0,91	9,780E+03	158,40	2,097E+04
F	53	4078-	4109	4095,61	438,88	0,82	2,446E+03	122,31	1,993E+04
F	54	4210-	4236	4225,91	452,85	0,81	1,374E+03	111,59	1,511E+04
F	55	4296-	4338	4321,29	463,07	0,99	1,954E+04	180,47	2,238E+04
M	56	4474-	4559	4484,44	480,56	0,93	5,707E+02	278,44	1,239E+04
m	57	4474-	4559	4545,42	487,10	0,93	8,945E+02	435,86	1,320E+04
F	58	4739-	4793	4766,74	510,83	1,09	3,180E+04	209,70	2,434E+04
F	59	5234-	5266	5249,72	562,61	0,93	2,672E+03	111,55	1,415E+04
F	60	5425-	5463	5442,88	583,32	1,02	1,005E+05	336,54	1,666E+04
F	61	5661-	5711	5686,77	609,46	1,06	1,194E+05	360,79	1,824E+04
M	62	6156-	6230	6175,14	661,82	1,11	4,134E+04	226,21	1,066E+04
m	63	6156-	6230	6210,42	665,60	1,11	3,457E+03	101,80	1,098E+04
F	64	6765-	6812	6787,51	727,47	1,19	2,132E+04	175,01	1,439E+04
F	65	7032-	7069	7049,37	755,55	1,07	2,505E+03	103,70	1,193E+04
M	66	7107-	7225	7123,94	763,54	1,20	1,312E+03	87,15	1,017E+04
m	67	7107-	7225	7170,93	768,58	1,20	1,017E+04	135,29	9,756E+03
m	68	7107-	7225	7207,42	772,49	1,21	3,835E+03	101,25	9,677E+03
M	69	7277-	7357	7299,82	782,40	1,26	1,657E+03	86,08	9,250E+03
m	70	7277-	7357	7332,82	785,93	1,26	5,044E+03	113,58	9,416E+03
F	71	7391-	7441	7419,06	795,18	1,20	1,113E+04	137,84	1,319E+04
F	72	7509-	7539	7523,35	806,36	1,04	1,913E+03	92,70	8,102E+03
M	73	7734-	7866	7751,42	830,81	1,42	1,613E+03	86,95	8,804E+03
m	74	7734-	7866	7799,34	835,95	1,42	4,144E+03	106,73	9,854E+03
m	75	7734-	7866	7838,79	840,18	1,42	2,681E+03	97,67	1,019E+04
F	76	8009-	8053	8031,42	860,83	1,17	1,050E+04	134,02	1,111E+04
M	77	8408-	8530	8439,02	904,53	1,28	1,676E+03	81,18	7,797E+03
m	78	8408-	8530	8504,00	911,50	1,28	6,239E+04	265,15	8,021E+03
F	79	8698-	8742	8717,76	934,41	1,31	5,674E+03	112,56	9,620E+03
M	80	8977-	9068	9003,43	965,04	1,32	1,177E+04	132,85	8,162E+03
m	81	8977-	9068	9043,13	969,29	1,32	3,649E+04	209,56	8,194E+03
F	82	9328-	9360	9342,65	1001,41	1,26	1,462E+03	91,11	7,382E+03
F	83	10423-	10486	10455,73	1120,74	1,40	2,309E+04	179,05	1,570E+04
F	84	10757-	10807	10781,57	1155,67	1,38	2,218E+03	106,30	1,392E+04
F	85	11531-	11582	11555,52	1238,64	1,49	8,524E+03	142,33	1,635E+04
F	86	11930-	11975	11956,13	1281,59	1,41	1,960E+03	90,35	8,315E+03
M	87	12830-	12946	12857,92	1378,27	1,45	5,234E+03	90,33	3,311E+03
m	88	12830-	12946	12928,05	1385,79	1,45	7,970E+02	52,75	2,964E+03
M	89	13059-	13167	13080,85	1402,17	1,67	1,460E+03	60,91	3,133E+03
m	90	13059-	13167	13141,17	1408,64	1,67	2,928E+03	74,34	3,100E+03
F	91	13599-	13667	13633,81	1461,46	1,61	2,441E+05	496,58	3,791E+03
M	92	13938-	14106	13961,28	1496,56	1,57	1,361E+03	52,97	1,982E+03

	Peak Nr.	ROI Anf.	ROI Ende	Peak Lage	Energie (keV)	FWHM (keV)	Net Peak Fläche	Net Fläche Unsich.	Untergrund Fläche
m	93	13938-14106	14013,62	1502,18	1,57	6,449E+02	43,41	2,007E+03	
m	94	13938-14106	14085,59	1509,89	1,57	2,398E+03	64,00	1,997E+03	
M	95	14729-14898	14750,19	1581,14	1,70	1,015E+03	44,70	1,310E+03	
m	96	14729-14898	14777,85	1584,11	1,70	8,721E+02	42,82	1,405E+03	
m	97	14729-14898	14822,31	1588,87	1,70	4,848E+03	77,57	1,455E+03	
m	98	14729-14898	14863,81	1593,32	1,70	5,901E+03	84,61	1,486E+03	
F	99	15104-15148	15126,11	1621,44	1,62	2,165E+03	58,32	1,317E+03	
M	100	15196-15309	15218,66	1631,37	1,69	2,385E+03	60,09	1,326E+03	
m	101	15196-15309	15290,43	1639,06	1,70	6,571E+02	38,43	1,104E+03	
F	102	15481-15526	15505,40	1662,11	1,56	1,063E+03	46,88	1,268E+03	
F	103	16119-16168	16142,87	1730,45	1,73	3,425E+03	67,84	1,166E+03	

M = Erster Peak in einer Multiplett-Region

m = Weiterer Peak in der Multiplett-Region

F = Gefittetes Singlet

Unsicherheit ist mit dem Erweiterungsfaktor $k = 1,00$ angegeben

 ***** N U K L I D - I D E N T I F I K A T I O N S - B E R I C H T *****

Probentitel: Asse Diffusor 3-10
 Verw. Nuklidbibliothek: C:\GENIE2K\CAMFILES\Nuklidbibliothek Reml

IDENTIFIZIERTE NUKLIDE

Nuklid Name	Id Konfidenz	Energie (keV)	Emis.wahr. (%)	Aktivität (Bq /kg)	Aktivität Unsicherheit
K-40	0,967	1461,00*	10,66	7,020517E+02	1,855762E+01
Cs-137	0,996	661,66*	89,90	6,462569E+00	1,200272E-01
Tl-208	0,998	10,60 @	2,70		
		72,80* @	1,91	3,462999E+01	1,065916E+00
		277,36*	6,40	1,570368E+01	5,139299E-01
		510,77* @	22,80	1,558344E+01	3,069457E-01
		583,19*	85,10	1,483262E+01	2,722705E-01
		763,13* @	1,89	1,109520E+01	7,602054E-01
		860,57*	12,52	1,496357E+01	3,021064E-01
		2614,55	99,83		
Pb-210	0,998	46,54*	4,45	2,124274E+01	3,755452E+00
Bi-212	0,972	39,86* @	1,06	3,855468E+01	1,094062E+01
		727,33*	6,67	4,890002E+01	1,142182E+00
		785,37*	1,10	7,508678E+01	2,279907E+00
		1620,50*	1,47	5,123248E+01	2,559922E+00
Pb-212	0,992	10,83 @	6,74		
		75,06* @	10,10	7,261082E+01	5,848838E+00
		77,41* @	16,80	6,665469E+01	1,854953E+00
		238,63*	43,60	4,904984E+01	1,733097E+00
		300,09*	3,30	4,752292E+01	1,538266E+00
Bi-214	0,988	609,32*	45,49	3,427063E+01	6,232484E-01
		768,36*	4,89	3,340255E+01	7,158072E-01
		934,06*	3,11	3,518602E+01	8,681220E-01
		1120,29*	14,92	3,563378E+01	5,708866E-01
		1238,12*	5,83	3,730952E+01	8,735638E-01
		1377,67*	3,99	3,764563E+01	1,053268E+00
		1764,50	15,30		
		2204,06	4,92		
Pb-214	0,995	53,23* @	1,08	1,387781E+01	2,413997E+00
		75,06* @	5,92	1,238799E+02	1,397795E+01
		77,41* @	9,90	1,131110E+02	2,935027E+00
		241,99* @	7,25	4,321195E+01	1,439735E+00
		295,22*	18,42	3,965998E+01	1,147722E+00
		351,93*	35,60	3,943798E+01	9,633586E-01
		785,96* @	1,06	7,806192E+01	2,184154E+00
Ra-226	0,990	186,21*	3,64	8,199088E+01	2,797153E+00
		262,27	0,00		
Ac-228	0,991	129,08*	2,90	3,440704E+01	9,005723E-01
		209,26*	5,00	3,664111E+01	1,292109E+00
		270,27*	3,70	4,928096E+01	1,580928E+00
		328,05*	3,40	4,158439E+01	1,162898E+00

Nuklid Name	Id Konfidenz	Energie (keV)	Emis.wahr. (%)	Aktivität (Bq /kg)	Aktivität Unsicherheit
Ac-228	0,991	338,37*	12,00	4,486536E+01	1,160096E+00
		463,01*	4,64	4,315355E+01	9,307634E-01
		795,07*	4,80	3,845144E+01	7,979669E-01
		911,32*	29,00	4,048740E+01	6,322241E-01
		964,84*	5,50	4,251064E+01	7,815595E-01
		969,16*	17,00	4,283216E+01	6,669770E-01
		1587,90*	3,70	4,436091E+01	1,668895E+00
Pa-234m	0,505	766,42	0,32		
		1001,03*	0,84	3,575894E+01	2,310579E+00
Th-234	0,971	63,29*	3,67	5,107381E+01	5,640728E+00
		92,54*	5,21	4,217075E+01	3,392547E+00
U-235	0,993	143,76*	10,96	2,990857E+00	1,270997E-01
		163,33*	5,08	1,987298E+00	1,798806E-01
		185,71*	57,20	5,217602E+00	1,910231E-01
		205,31*	5,01	2,316318E+00	1,808392E-01

* = Energielinie im Spektrum gefunden.

@ = Energielinie nicht für gewichtete mittlere Aktivität verwendet

Energietoleranz : 1,000 keV

Nuklid-Konfidenzindex-Schwelle = 0,30

Unsicherheit ist mit dem Erweiterungsfaktor k = 1,00 angegeben

 **** B E R I C H T z. I N T E R F E R E N Z - K O R R E K T U R ****

Nuklid Name	Nuklid Id Konfidenz	Gew. mittl Aktivität (Bq /kg)	Gew. mittl. Aktivität Unsicherheit
K-40	0,967	7,0205174E+02	1,8557621E+01
Cs-137	0,996	6,4625687E+00	1,2002717E-01
Tl-208 @	0,998	1,5000256E+01	1,8820284E-01
Pb-210	0,998	2,1242738E+01	3,7554516E+00
Bi-212 @	0,972	4,7624553E+01	8,0516129E-01
Pb-212 @	0,992	4,8195766E+01	1,1504605E+00
Bi-214	0,988	3,5234188E+01	2,9970306E-01
Pb-214 @	0,995	3,8404914E+01	7,0430039E-01
Ra-226	0,990	4,1291061E+01	3,1169079E+00
Ac-228	0,991	4,1066501E+01	2,7539504E-01
Pa-234m	0,505	3,5758940E+01	2,3105790E+00
Th-234	0,971	4,4535753E+01	2,9072393E+00
U-235	0,993	2,5899880E+00	8,7511831E-02

? = Nuklid ist Teil einer unbestimmten Gleichung
 X = Nuklid wurde bei der Interferenzanalyse zurückgewiesen
 @ = Nuklid besitzt Energielinien, die nicht in gew. mittl.
 Aktivität berücksichtigt wurden

Unsicherheit ist mit dem Erweiterungsfaktor k = 1,00 angegeben

***** NICHT IDENTIFIZIERTE LINIEN *****

Peaksuche durchgeführt am: 20.12.2022 16:07:12

Peaksuche ab Kanal : 200

Peaksuche bis Kanal : 16384

Peak Nr.	Energie (keV)	Peakgröße in Counts pro Sekunde	Peak CPS % Unsicherheit	Peak Typ	vorläuf. Nuklid
F 1	31,96	4,03322E-03	4,09		
m 4	49,94	4,33629E-04	17,34		
m 6	57,66	8,67219E-04	17,07		
m 8	67,56	5,55374E-03	3,13		
m 12	79,18	7,03690E-03	2,35	Sum	
m 13	80,98	7,63927E-03	2,18		
m 14	84,04	1,99332E-02	0,96	Tol.	Th-231
m 15	87,14	5,93620E-02	0,44	Sum	
m 16	89,80	4,29051E-02	0,55		
F 18	99,39	7,84968E-03	2,13	D-Esc.	
M 19	105,37	1,29598E-02	1,78	Sum	
m 20	108,71	5,63110E-03	3,45	Sum	
m 21	112,73	3,56135E-03	5,31	Sum	
m 22	115,07	6,35155E-03	3,19	Sum	
m 24	131,50	2,00088E-03	6,85		
F 26	153,97	8,50320E-03	2,13	Sum	
M 29	199,34	2,07021E-03	6,15		
F 32	215,94	2,03164E-03	7,30	D-Esc.	
M 33	235,95	3,58736E-03	3,59	Sum	
M 36	252,55	1,60415E-03	6,79	Sum	
m 37	256,21	1,55399E-03	6,82	Sum	
m 38	258,82	1,96515E-03	5,74	Sum	
m 40	274,77	1,50807E-03	7,17		
F 42	288,15	1,69713E-03	6,47	Sum	
M 45	321,66	1,22662E-03	7,46		
m 47	332,39	1,82042E-03	5,03	Sum	
m 49	341,00	1,57378E-03	5,99	Sum	
F 51	388,95	9,66183E-04	9,50	Sum	
F 52	409,51	7,55326E-03	1,62		
F 53	438,88	1,88948E-03	5,00	D-Esc.	
F 54	452,85	1,06083E-03	8,12		
M 56	480,56	4,40755E-04	48,79	Sum	
m 57	487,10	6,90884E-04	48,73	Sum	
F 59	562,61	2,06373E-03	4,17		
m 63	665,60	2,66990E-03	2,94	Sum	
F 65	755,55	1,93488E-03	4,14	Sum	
m 68	772,49	2,96179E-03	2,64	Sum	
M 69	782,40	1,27939E-03	5,20		
F 72	806,36	1,47730E-03	4,85	Sum	
M 73	830,81	1,24589E-03	5,39	Sum	
m 74	835,95	3,20067E-03	2,58	Sum	
m 75	840,18	2,07027E-03	3,64	Sum	
M 77	904,53	1,29479E-03	4,84	Sum	
F 84	1155,67	1,71303E-03	4,79	Sum	

Peak Nr.	Energie (keV)	Peakgröße in Counts pro Sekunde	Peak CPS % Unsicherheit	Peak Typ	vorläuf. Nuklid
F 86	1281,59	1,51417E-03	4,61		
m 88	1385,79	6,15549E-04	6,62		
M 89	1402,17	1,12762E-03	4,17	Sum	
m 90	1408,64	2,26123E-03	2,54		
M 92	1496,56	1,05135E-03	3,89	Sum	
m 93	1502,18	4,98070E-04	6,73	Sum	
m 94	1509,89	1,85234E-03	2,67		
M 95	1581,14	7,83851E-04	4,40	Sum	
m 96	1584,11	6,73588E-04	4,91	Sum	
m 98	1593,32	4,55784E-03	1,43		
M100	1631,37	1,84188E-03	2,52	Sum	
m101	1639,06	5,07544E-04	5,85	Sum	
F 102	1662,11	8,20834E-04	4,41	Sum	
F 103	1730,45	2,64561E-03	1,98	Sum	

M = Erster Peak in einer Multiplett-Region

m = Weiterer Peak in der Multiplett-Region

F = Singlet gefittet

Unsicherheit ist mit dem Erweiterungsfaktor $k = 1,00$ angegeben